

بررسی اثرات زبری بر کارایی آئرودینامیکی مقطع پره توربین باد

محمد رضا سلطانی (استاد)

دانشکده مهندسی هواپیما، دانشگاه صنعتی شریف

فرنیزد عسکری سیدمشکوی (کارشناس ارشد)

پژوهشکده‌ی شهید رجایی

علی بخشلی پورکلخوران (دانشجوی دکتری)

دانشکده مهندسی هواپیما، دانشگاه صنعتی شریف

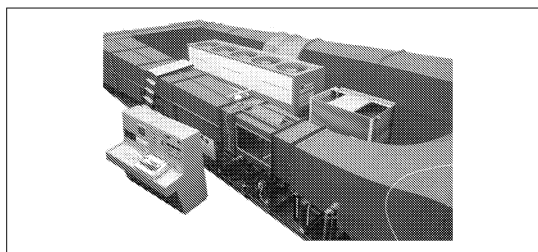
به منظور بررسی رفتار آئرودینامیکی مقطع پره توربین‌های باد، آزمایش‌های مختلفی بر روی یکی از مقاطع به کار رفته در پره توربین برق بادی ۶۶۰ کیلوواتی در رینولدزهای مختلف انجام شده است. اثرات زبری بر توزیع فشار، ضرایب و پارامترهای آئرودینامیکی مقطع در سه عدد رینولدز به دست آمده است. نتایج به دست آمده حاکی از اثربودن نامطلوب زبری بر کارایی آئرودینامیکی مقطع، شامل کاهش ضریب برآ و افزایش پسا در کلیه‌ی اعداد رینولدز مورد آزمایش است، زبری باعث افزایش نقطعی گذار در زوایای حمله‌ی پایین و افت شدید مقدار ضریب فشار در سطح بالایی، و نیز افزایش تاخیمی جدا شده جریان در زوایای حمله‌ی بالا شده است. افزایش عدد رینولدز موجب افزایش کارایی آئرودینامیکی ایرفویل شده، اما برخلاف انتظار تأثیری بر کاهش اثرات نامطلوب زبری نداشته است. نتایج به دست آمده به طور غیرمستقیم مؤید تشکیل حباب روزی سطح بالایی ایرفویل در رینولدزهای پایین است. به منظور اعتبارسنجی کدهای مهندسی Eppler و Xfoil نتایج آزمایش‌ها با پیش‌بینی این کدها و نرم‌افزار Fluent مقایسه شده است.

زبری لبه‌ی حمله^۱ ضخامت لایه‌ی مرزی پره را زیاد کرده

و باعث حرکت نقطعی گذار به سمت لبه‌ی حمله‌ی ایرفویل می‌شود. در نتیجه لایه‌ی مرزی مغشوش و ضخیم‌تر شده، باعث افزایش پسا کاهش انحنای مؤثر ایرفویل و واماندگی زودرس خواهد شد. در کل می‌توان گفت که زبری اثرات بسیار نامطلوبی بر کارایی پره خواهد داشت و مقدار این اثر در کاهش بیشینه‌ی ضریب پرا به فلسفه‌ی طراحی ایرفویل و درجه‌ی الودگی روی آن بستگی دارد.^[۱۵] ضخامت مقطع در طول پرهی توربین‌های باد به منظور تحمل بارهای سازه‌ی بی بهشت تغییر می‌کند، بهنحوی که ضخامت مقطع در ریشه‌ی پره‌ها به ۳۰٪ نیز می‌رسد. تاکنون آزمایش‌های زیادی بر روی این نوع ایرفویل‌های ضخیم که در ریشه‌ی پره کاربرد دارند انجام گرفته است.^[۲] با توجه به این که اثرات عواملی همانند «زبری» بهندرت و بسیار اندک بر روی مقاطعی که ضخامت متوسطی دارند بررسی شده است، این تحقیق بر بررسی مقطعی که در قسمت بیرونی پره قرار دارد متمرکز شده است. بررسی‌ها نشان داده است که مقطع پره‌های توربین‌های باد در فاصله‌ی حدود ۷۵٪ شعاع پره از مرکز چرخش بیشترین سهم را در تولید نیرو و گشتاور دارد.^[۷] به همین منظور مقطع ۱۶ متر از یک پره ۲۳/۵ متری مربوط به توربین برق بادی ۶۶۰ کیلووات که قرار است بهزودی در کشور نصب و راهاندازی شود مدل شد و در توپل باد مورد بررسی تجربی قرار گرفت و اثرات پارامترهای مختلفی چون زبری و عدد

مقدمه

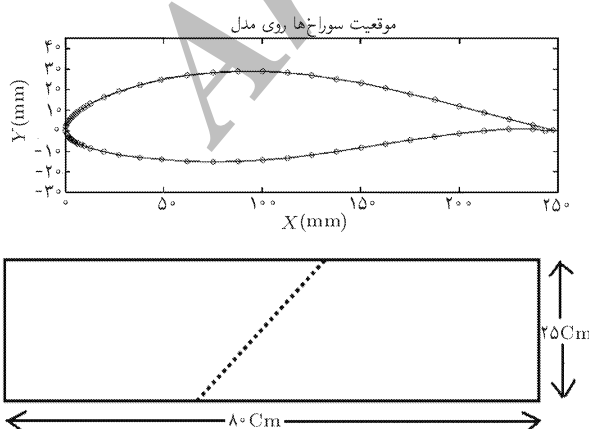
در فرایند طراحی توربین‌های باد، تخمین کارایی آئرودینامیکی پره و مقطع آن به منظور پیش‌بینی توان خروجی الگمی است. برای پیش‌بینی کارایی آئرودینامیکی توربین‌های بادی محور افقی و طراحی آنها، چندین روش وجود دارد که ازین آنها روش BEM بسیار متبادل است. برای استفاده از این روش طراحی بایستی مشخصات عملکردی مقطع پره توربین را در قالب یک جدول به دست آورد.^[۱] بنابرین انجام آزمایش توپل باد برای مقطع پره ضروری به نظر می‌رسد، بهویژه آن که این توربین‌ها در زوایای حمله بالا کاربرد دارند، لذا کدهای موجود قادر به پیش‌بینی دقیق ضریب نیستند. این امر سبب می‌شود که همواره توان محاسبه شده توسط نرم‌افزار BEM با استفاده از نتایج کدهای موجود با توان اندازه‌گیری شده اختلاف فاحشی داشته باشد، بهویژه آن که محاسبه‌ی نادرست نیروهای آئرودینامیکی اثرات نامطلوبی بر سازه‌ی توربین دارد. تحلیل‌ها نشان داده است که استفاده از نتایج آزمایش ایرفویل در توپل‌های مختلف تأثیر بسیار زیادی بر نتایج پیش‌بینی شده دارد که این امر ناشی از نادیده گرفتن اثرات پارامترهای مختلف و اندازه‌ی آنها (همانند زبری، تلاطم جریان، واماندگی دینامیکی و ...) است.^[۱۶] از آنجاکه توربین‌های باد در شرایط محیطی در معرض باد، باران و گرد و غبار قرار می‌گیرند، و نیز گذشت زمان باعث تجمع لاشه‌ی حشرات روی پره آنها می‌شود، بررسی اثرات زبری بر عملکرد و کارایی مقطع پره حائز اهمیت است.



شکل ۱. شماتیک تونل باد.

تونل باد و به طول 80 سانتی‌متر ساخته شده است. با توجه به ارتفاع مقطع کاری تونل، طول و تر 25 سانتی‌متر در نظر گرفته شده تا هنگامی که ایرفویل در زوایای حمله بالا قرار می‌گیرد از خفگی تونل جلوگیری شود. مدل از جنس مركب ساخته شده است. برای آنکه امکان اتصال لوله‌های فشار وجود داشته باشد، لازم است این‌گونه مدل‌ها چندتکه ساخته شوند. مدل این آزمایش در ابتدا برای عبور لوله‌های فشار دو تکه ساخته شده و پس از تزریق مواد مركب به داخل آن به صورت یکپارچه در آمده است.

برای اندازه‌گیری فشار در سطح مدل، سوراخ‌های فشار استاتیکی در محل‌های تعیین شده با قطر داخلی $8/8$ میلی‌متر و قطر خارجی 1 میلی‌متر کاملاً عمود بر سطح ایجاد شده است. تعداد 64 سوراخ فشار بر روی سطح مدل تعیین شده است. چیدمان سوراخ‌ها با توجه به توزیع فشار پیش‌بینی شده توسط نرم‌افزارهای عددی، با تراکم بیشتر در لبه حمله و حول یک خط مورب با زوایی 20° درجه در وسط مدل به منظور حلوگیری از تأثیر احتمالی دنباله‌ی جریان ناشی از سوراخ‌ها بر روی یکدیگر در نظر گرفته شده است (شکل ۲). فاصله‌ی لوله‌ی رابط بین سوراخ‌های روی مدل تا سرفشارسنج‌ها حداقل 2 متر است. ضخامت مدل مورد استفاده $17/54$ ٪ ($4/38$ سانتی‌متر) است. سطح خارجی مدل کاملاً صیقلی است و برای شبیه‌سازی اثر زیری بر روی آن از زیری شماره 36 (با قطر اسامی 254 mm اینچ) استفاده شده



شکل ۲. مدل مورد آزمایش و موقعیت نصب سوراخ‌ها بر روی آن.

رینولدز بر روی آن بررسی شد. لازم به ذکر است که اطلاعات کارایی این توربین‌ها، مثل ضرایب آئرودینامیکی و اثرات ناشی از زیری و ... در دست نیست و صرفاً قرار است این پره‌ها در داخل کشور موتاً شوند. لذا به منظور بررسی رفتار آئرودینامیکی و کارایی پره برنامه گستردگی، شامل آزمون‌های استاتیکی و دینامیکی مقطع پر، در نظر گرفته شده است. در این نوشتار صرفاً نتایج آزمون‌های استاتیکی مورد بررسی قرار خواهد گرفت. ضرایب آئرودینامیکی به دست آمده همگی ناشی از توزیع فشار حول ایرفویل و دنباله‌ی آن بوده و در انجام آزمایش‌ها از بالاتر استفاده نشده است. ضرایب پرا و ممان پیچشی از توزیع فشار حول مدل، و ضرایب پسا از توزیع سرعت در دنباله‌ی جریان استخراج شده‌اند. بر روی ضرایب آئرودینامیکی ارجاه شده، به عمل اثرات دیواره و خفگی تونل^۲ اصلاحاتی اعمال شده است.^[۸] به منظور کالibrاسیون کدهای مهندسی برای استفاده از آنها در سایر مقاطع پر، نتایج آزمون با پیش‌بینی انجام شده توسط کدها در مقطع مورد نظر مقایسه شده است. امید است که با استفاده از نتایج این آزمایشات و آزمایش‌های دیگر بتوان کارایی این پره را دقیقاً محاسبه کرد تا پیش‌بینی دقیق‌تری از توان آن حاصل آید.

تجهیزات آزمایش

کلیه آزمایش‌ها در تونل باد مادون صوت مرکز تحقیقات جهاد کشاورزی مرکز فارس انجام شده است. در این آزمایش‌ها از تونل باد، برد D/A-۳-۶۴E-AT-MIO، «ریک» سیستم نقطه‌یابی^۳، ترانسیدیوسر فشاری، برد اخذ اطلاعات و ریانه برای ثبت و پردازش داده‌ها استفاده شده است.

تونل باد

تونل باد مادون صوت مرکز تحقیقات جهاد کشاورزی مرکز فارس که آزمایش‌ها در آن انجام شده دارای محفظه‌ی آزمایش $8 \times 0/8 \times 0/8 \times 0$ مترمکعب با محدوده‌ی سرعت 10 تا 100 متر بر ثانیه است. این تونل ساخت کارخانه‌ی ISI ایتالیا، و از نوع مدار بسته است و ابعاد کلی آن $18 \times 6/5 \times 3/8$ متر است. قدرت فن 155 کیلووات و سرعت چرخش آن 985 RPM است. دبی جریان هوا بین $6/4$ تا 64 متر مکعب بر ثانیه قابل تنظیم است. شکل ۱ شماتیک تونل باد را نشان می‌دهد.

مدل

مدل ایرفویل مورد آزمایش، مقطع 16 متری شعاع از پره‌ی $23/5$ متری توربین برق بادی 66 کیلووات است، و از آنجاکه آزمون تونل به صورت دو بعدی انجام می‌گیرد دهانه‌ی مدل^۴ هم عرض با دهانه‌ی مقطع کاری

استفاده شده است. ترانسdiوسرهای مورد استفاده از نوع تقاضای اند و اختلاف فشار نسبی را اندازه‌گیری می‌کنند. ولتاژ تعذیبی ورودی این ترانسdiوسرها $\pm 0.5\%$ و ولت جریان مستقیم است و هنگامی که در اختلاف فشار دو سر آن صفر باشد، ولتاژ خروجی آن در حدود $3/2$ تا $3/4$ ولت است. زمان پاسخگویی ترانسdiوسرها به تغییرات فشاری 1 ms ثانیه است، ولتاژ خروجی ترانسdiوسرها بین 1 تا 4 ولت بر حسب اختلاف فشار دوسر تغییر می‌کند. کلیه سیستم‌های منع تعذیب، نصب و راهاندازی ترانسdiوسرها در حین این پروژه طراحی و ساخته شده ضمن اینکه قبل از انجام این آزمایشات تمامی ترانسdiوسرها با استفاده از یک ترانسdiوسر بسیار دقیق کالیبره شده‌اند. دقت سیستم طراحی و ساخته شده در آزمایش‌های انجام شده در حدود 6 پاسکال بوده است.

برد اخذ و پردازش اطلاعات و رایانه
در انجام آزمایش‌ها از یک برد A/D AT-MIO-64E-3 A/D و رایانه‌یی برای اخذ، ثبت و پردازش اطلاعات استفاده شده است. فرکانس داده‌برداری در حین آزمایش 100 Hz و به مدت 3 ثانیه در هر موقعیت داده اخذ شده است.

سیم داغ

برای اندازه‌گیری شدت تلاطم (آشفتگی) در مقطع کاری تونل از سیم داغ یک مؤلفه و متعلقات آن استفاده شده است. بهمنظور اخذ و پردازش اطلاعات سیم داغ، از یک برد آنالوگ به دیجیتال کانالهای PCL816-HG استفاده شده است. بعد از کالیبراسیون سیم داغ و فیلتر کدن داده‌ها توسط نرم‌افزاری که در این پروژه نوشته شده، شدت تلاطم در مقطع کاری تونل در سرعت‌های مختلف بدست آمده است.

مراحل انجام آزمایش

در این پژوهش آزمایش‌های مختلفی در تونل باد مرکز تحقیقات جهاد کشاورزی شیراز در سه عدد رینولدز $10^6 \times 10^6$ ، $10^6 \times 10^6$ و $10^6 \times 10^6$ انجام شد. در هر حالت، زویه‌ی حمله مدل از 5° تا 25° درجه با گام‌های 1 و 2 درجه متغیر است. توزیع فشار روی مدل در 64 موقعیت و حول یک خط مورب با زویه‌ی 2° درجه به‌وسیله‌ی حسگرهای فشارسنج اخذ می‌شود. از توزیع فشار حول مدل برای بدست آوردن ضریب برآ و ضریب ممان پیچشی استفاده شده است. بهمنظور کسب ضریب پسا، توزیع سرعت در دنباله‌ی مدل به‌وسیله‌ی یک دستگاه ریک اندازه‌گیری شده است. از آنجاکه امکان رسم هم‌زمان

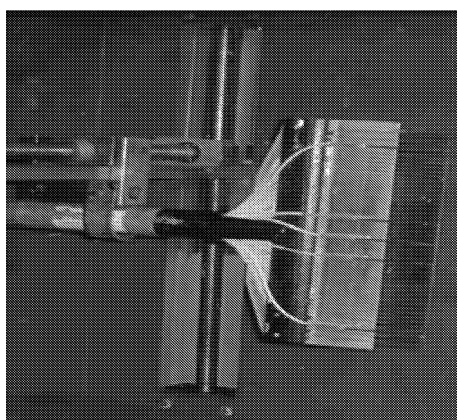
است که به‌وسیله‌ی یک چسب دوطرفه به پهنای $1/5$ سانتی‌متر در نزدیکی لبه حمله (5% وتر) و بر روی سطح بالابی قرار داده می‌شود. بهمنظور آشکارسازی جریان به سطح مدل رنگ سیاه زده شده که در هنگام استفاده از رنگ فلورسانس در موقع آشکارسازی، بازتابش نور بهتر صورت گیرد. مقطع ایرفویل به‌کار رفته در پروژه این توربین در بعضی از مقاطع مشابه ایرفویل‌های سری 6 NACA است، اما از لحاظ ضخامت قدری متفاوت است.

ریک

این وسیله برای اندازه‌گیری فشار استاتیک و فشار کل صفحات مختلف تونل به کار گرفته می‌شود. با حرکت دادن ریک در محور طولی و عرضی تونل در صفحات مختلف، می‌توان توبوگرافی سرعت و فشار را در اعداد مختلف رینولدز اندازه‌گیری کرد و تغییرات آنها را در صورت امکان مورد بررسی قرار داد. در این تحقیق، برای اندازه‌گیری توزیع فشار در دنباله‌ی جریان یک ریک با 22 لوله (47 لوله فشار کل و 5 لوله فشار استاتیک) طراحی و ساخته شد. دهانه‌ی ریک ساخته شده برای این آزمایش‌ها 30 سانتی‌متر بوده و تراکم لوله‌ها در وسط دهانه بیشتر است. فاصله‌ی مرکز لوله‌ها در وسط ریک 3 میلی‌متر و در اکنارهای به 1 سانتی‌متر افزایش می‌یابد. قطر لوله‌های به‌کار رفته $2/2$ میلی‌متر و از جنس استیل است. شکل 3 ریک به‌کار گرفته شده در آزمایش‌ها را نشان می‌دهد.

ترانسdiوسرهای فشاری

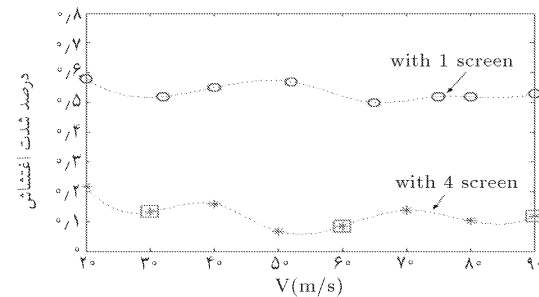
ترانسdiوسرهای مورد استفاده در آزمایش‌ها، 45 عدد از نوع $5D_{PC} \times 142PC$ با محدوده‌ی فشار $143PC \pm 5\text{ psi}$ و 25 عدد از نوع D با محدوده‌ی فشار $1psi \pm 1$ هستند. از ترانسdiوسرهای نوع اول در لبه حمله و از نوع دوم آن در انتهای مدل (که گرادیان فشار کاهش می‌یابد)



شکل ۳. ریک مورد استفاده در آزمایش‌ها.

که از این شکل پیداست رفتار ایرفویل در رینولدز $10^6 \times 43 \times 10^6$ با دو رینولدز دیگر کاملاً مقاوم است. به نظر می‌رسد علت این پذیره در رینولدزهای پایین، تشکیل حباب^۸ در سطح بالایی مدل است که باعث افزایش ضخامت ایرفویل و در نتیجه تغییر انحنای مؤثر شده است. جدایش کامل جریان روی ایرفویل در این عدد رینولدز و در زویه‌ی حمله 10° درجه اتفاق افتاده است، تغییرات ضریب برآ در رینولدزهای $10^6 \times 85 \times 10^6 \times 1/3$ تا قبل از زویه‌ی حمله 9° درجه مشابه است و در زوایای حمله بالاتر ایرفویل در رینولدز $10^6 \times 85 \times 10^\circ$ دچار وامانگی می‌شود. با افزایش عدد رینولدز به $10^6 \times 1/3$ زویه‌ی وامانگی حداقل تا 2° درجه به تعویق افتاده و در نتیجه بیشینه‌ی برآی ایرفویل 10° ٪ افزایش پیدا کرده است و از $1/19$ در رینولدز $10^6 \times 85 \times 10^\circ$ به $1/33$ در رینولدز $10^6 \times 1/3$ رسیده است.

شکل ۶ تغییرات ضریب پسا بر حسب زویه‌ی حمله را در سه عدد رینولدز آزمایش‌ها نشان می‌دهد. به علت وجود حباب و افزایش ضخامت ظاهری مدل در رینولدز $10^6 \times 43 \times 10^6$ پسای ایرفویل حداقل 15° ٪ نسبت به رینولدز $10^\circ \times 85 \times 10^\circ$ رشد داشته است. مقایسه‌ی این ضریب در رینولدزهای $10^\circ \times 85 \times 10^\circ$ و $1/3 \times 10^\circ \times 10^\circ$ نشان می‌دهد که افزایش عدد رینولدز به کاهش 10° ٪ مقدار پسا در زوایای حمله‌ی قبل از وامانگی انجامیده است. تأثیر افزایش عدد رینولدز در



شکل ۴. اثر نصب توری‌ها در کاهش شدت تلاطم مقطع.

جدول ۱. شدت تلاطم جریان در مقطع کاری توبل باد بر حسب درصد.

عدد رینولدز	$1/300,000$	$850,000$	$430,000$	شدت تلاطم (درصد)
۰,۱۷۵	۰,۰۸۵۰۴	۰,۰۱۳۲۸	۰,۰۱۳۲۸	

توزیع سرعت در دنباله (حین آزمایش) وجود داشت سعی شده است مرکز ریک همواره در مرکز دنباله جریان قرار داده شود.

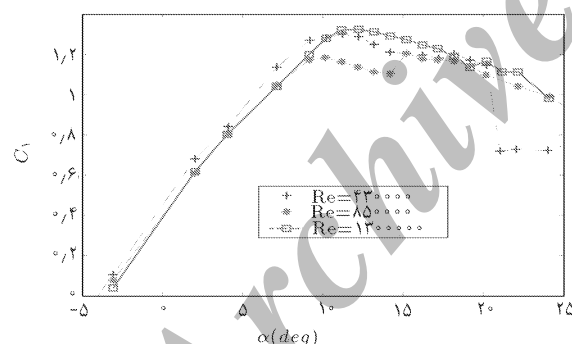
برای بررسی اثرات زبری بر مدل از زبری شماره ۳۶ با قطر اسمی 254 mm اینجاستفاده شده است. این نوع زبری بهوسیله‌ی یک چسب دوطرفه به پهنه‌ای $1/5$ سانتی‌متر و در فاصله‌ی 5° و تراز لبه‌ی حمله بر روی مدل در سطح بالایی نصب شد. اثرات زبری در سه عدد رینولدز ذکر شده بررسی شده است.

یکی از پارامترهای اثرگذار در نتایج آزمایش‌های توبل باد، شدت تلاطم (آشفتگی) در مقطع کاری است که باعث جابه‌جایی نقطه‌ی گذار روی مدل و تغییر پارامترهای آفرودینامیکی می‌شود. قبل از انجام آزمایش‌ها شدت تلاطم در مقطع کاری توبل اندازه‌گیری شد و نتایج نشان داد که این مقدار بیش از حد استاندارد است. برای کاهش شدت تلاطم در مقطع کاری روش‌های مختلفی وجود دارد. یکی از این روش‌ها، که در این تحقیق نیز مورد استفاده قرار گرفت، قرار دادن توری‌هایی با شبکه‌ی ریز در قسمتی از توبل و قبل از هم‌گرانی محافظه‌ی جریان و در ناحیه‌ی سرعت پایین است. توبل باد مذکور مجهز به یک عدد توری است و قبل از انجام آزمایش‌ها سه عدد توری دیگر در توبل نصب شد که شدت تلاطم را در مقطع کاری توبل بهشت کاهش داد. شکل ۴ اثر نصب این توری‌ها را بر کاهش شدت تلاطم مقطع کاری نشان می‌دهد.

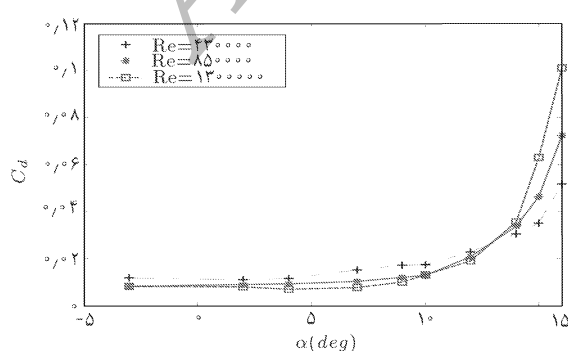
جدول ۱ نشان‌گر شدت تلاطم در داخل مقطع کاری توبل است که بهوسیله‌ی سیم‌داغ در سه عدد رینولدز آزمایش‌ها اندازه‌گیری شده است.

نتایج

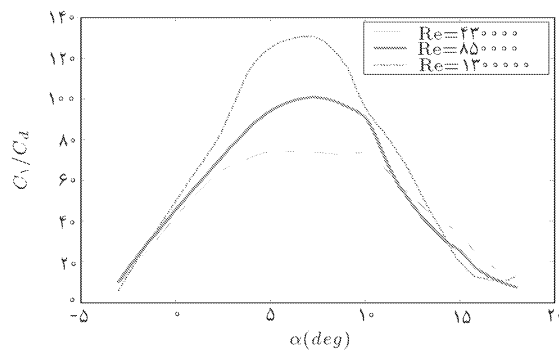
شکل ۵ تغییرات ضریب پسا بر حسب زویه‌ی حمله را در سه عدد رینولدز $10^6 \times 43 \times 10^6$ ، $0/3 \times 10^\circ \times 10^\circ$ و $1/3 \times 10^\circ \times 85^\circ$ نشان می‌دهد. همان‌طور



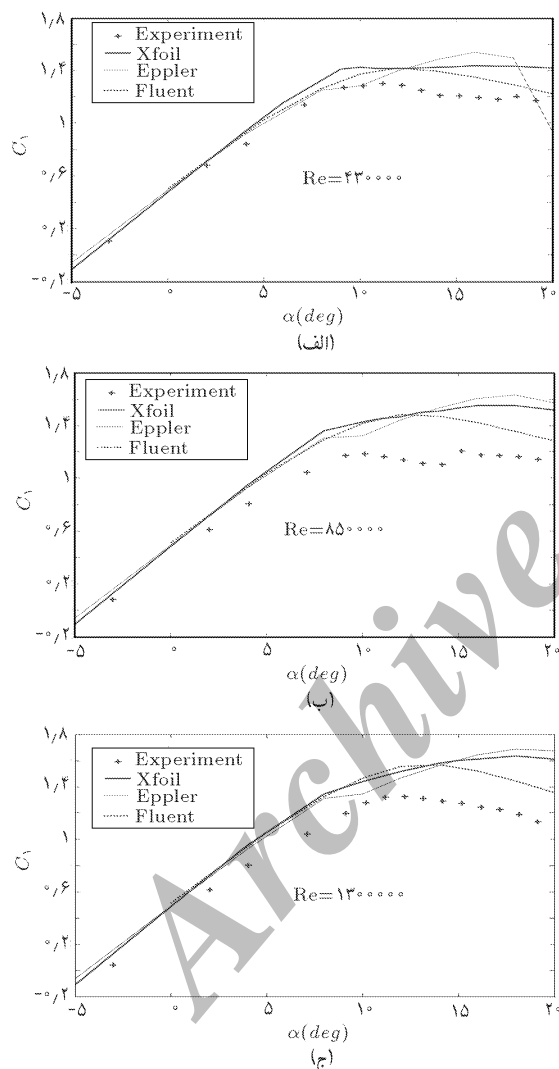
شکل ۵. تغییرات ضریب پسا بر حسب زویه‌ی حمله در رینولدزهای مختلف.



شکل ۶. تغییرات ضریب پسا بر حسب زویه‌ی حمله در رینولدزهای مختلف.



شکل ۷. تغییرات نسبت برآ به پسا در رینولذزهای مختلف.



شکل ۸. مقایسه ضریب برآ با پیش‌بینی کدهای مهندسی.

تأثیری در کاهش اثرات نامطلوب زبری بر ایرفویل ندارد و این اثرات در رینولذز $10^6 \times 1/3$ بسیار شدید است.

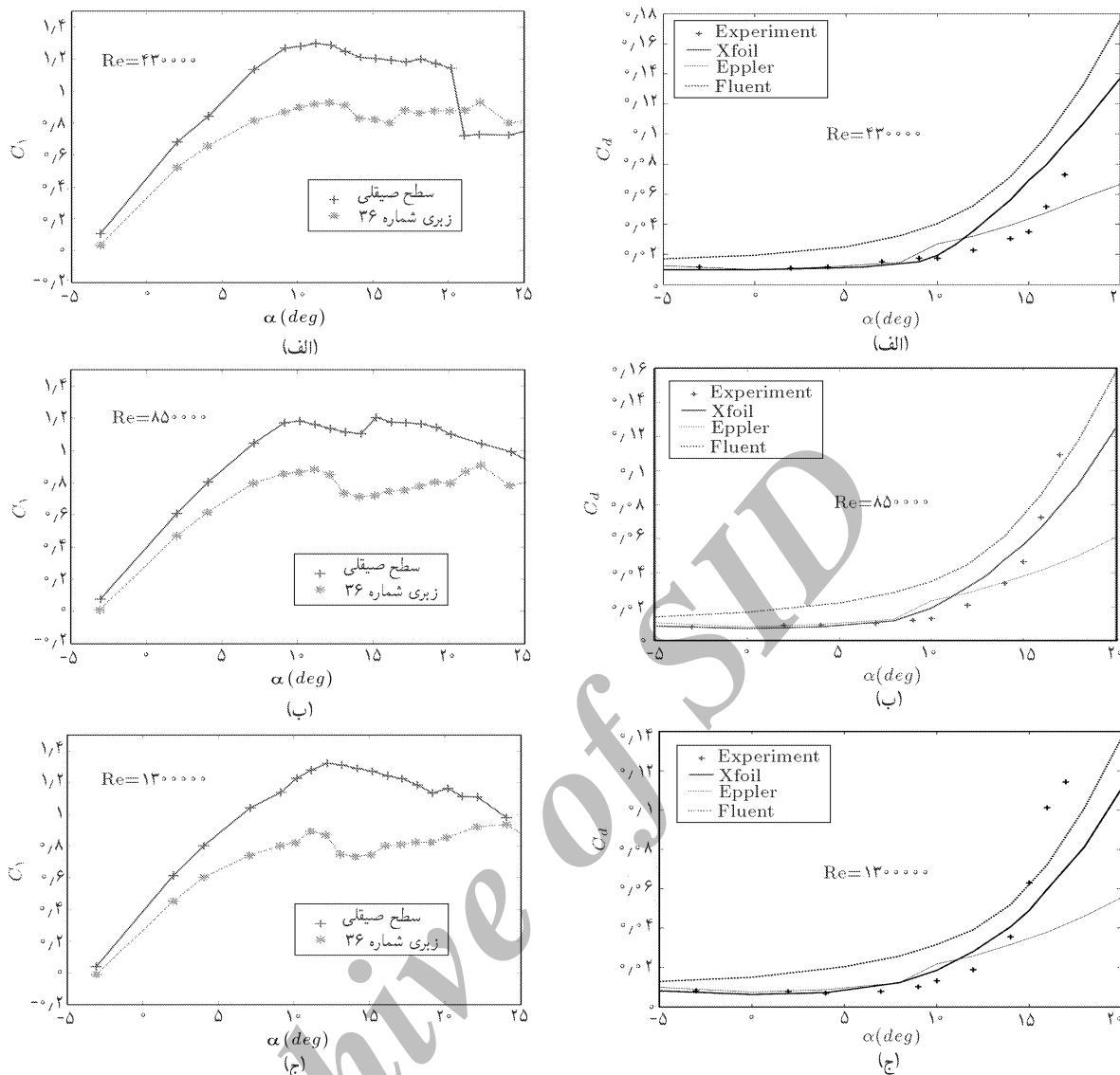
شکل ۱۱ اثر زبری شماره ۳۶ را بر روی مقدار ضریب پسا نشان می‌دهد. تأثیر بسیار شدید زبری بر ضریب پسا کاملاً مشخص است و

کاهش ضریب پسا در زوایای حمله‌ی قبل از واماندگی کاملاً مشهود است.

شکل ۷ تأثیر عدد رینولذز بر نسبت ضریب برآ به پسا را نشان می‌دهد. این نسبت در رینولذزهای $10^6 \times 1/3 \times 10^6$ ، $10^6 \times 1/3 \times 85$ و $10^6 \times 1/3$ به ترتیب به 75 ، 100 و 130 می‌رسد که نشان از تأثیر مطلوب افزایش عدد رینولذز بر کارایی آزاد دینامیکی مقطع دارد. در شکل‌های ۸ و ۹ ضریب برآ و پسا با پیش‌بینی انجام شده توسط کدهای مهندسی Fluent، Xfoil و Eppler مقایسه شده است. این مقایسه نشان می‌دهد که پیش‌بینی پیش‌بینی ضریب برآ برای مدل بسیار مشکل است و در زوایای حمله‌ی قبل از واماندگی نیز مقادیر پیش‌بینی شده بیش از نتایج تجربی است. و با افزایش عدد رینولذز این اختلاف افزایش پیدا می‌کند. هرچند که Fluent ضریب برآ را بهتر پیش‌بینی می‌کند، لازم به ذکر است که پیش‌بینی کدهایی مانند Eppler و Xfoil در رینولذزهای پایین دقت خوبی دارند. شکل ۸ نشان می‌دهد که با افزایش عدد رینولذز خطای پیش‌بینی ضریب برآ توسط کدها، حتی در زوایای حمله‌ی پایین، نیز افزایش می‌یابد. پیش‌بینی صورت گرفته توسط کدهای مهندسی در مورد ضریب پسا در زوایای قبل از واماندگی در رینولذزهای $10^6 \times 1/3 \times 85$ و $10^6 \times 1/3$ مطابقت خوبی با نتایج تجربی دارد و خطای آن کمتر از ۵٪ است. پیش‌بینی ضریب پسا در رینولذز $10^6 \times 1/3 \times 10^6$ تا حدودی کمتر از مقدار واقعی است. همان‌طور که اشاره شد تشکیل حباب در این عدد رینولذز باعث افزایش پسا شده است و کدهای مهندسی قادر به تشخیص حباب نیستند. درنتیجه مقدار پیش‌بینی کمتر از میزان واقعی است. لازم به ذکر است پیش‌بینی ضریب پسا توسط کدهای عددی به نوع شبکه و روش مورد استفاده، به علت لایه‌ی مرزی لزج، بسیار وابسته است. شبکه‌ی به‌کار رفته در مورد این مسئله از نوع باسازمان و با ۲۵ هزار حجم محدود و روش مورد استفاده مدل آشتفتگی یک معادله‌ی اسپالارت - الماراس است. بنابراین به‌نظر می‌رسد که برای پیش‌بینی کارایی این ایرفویل و تعیین پیش‌بینی توان پره توربین نیازمند به انجام آزمایشات در تونل باد است.

تأثیر زبری

شکل ۱۰ تأثیر زبری شماره ۳۶ را بر روی مقدار ضریب برآ در رینولذزهای مختلف نشان می‌دهد. زبری باعث افت ۲۷ درصدی پیش‌بینی ضریب برآ در رینولذز $10^6 \times 1/3 \times 10^6$ ، $10^6 \times 1/3 \times 85$ و $10^6 \times 1/3$ درصد در رینولذز $10^6 \times 1/3 \times 10^6$ درصد در رینولذز $10^6 \times 1/3 \times 10^6$ شده است. زبری همچنین سبب تعویق واماندگی در رینولذزهای $10^6 \times 1/3 \times 10^6$ و $10^6 \times 1/3 \times 85$ شده است. برخلاف انتظار، افزایش عدد رینولذز

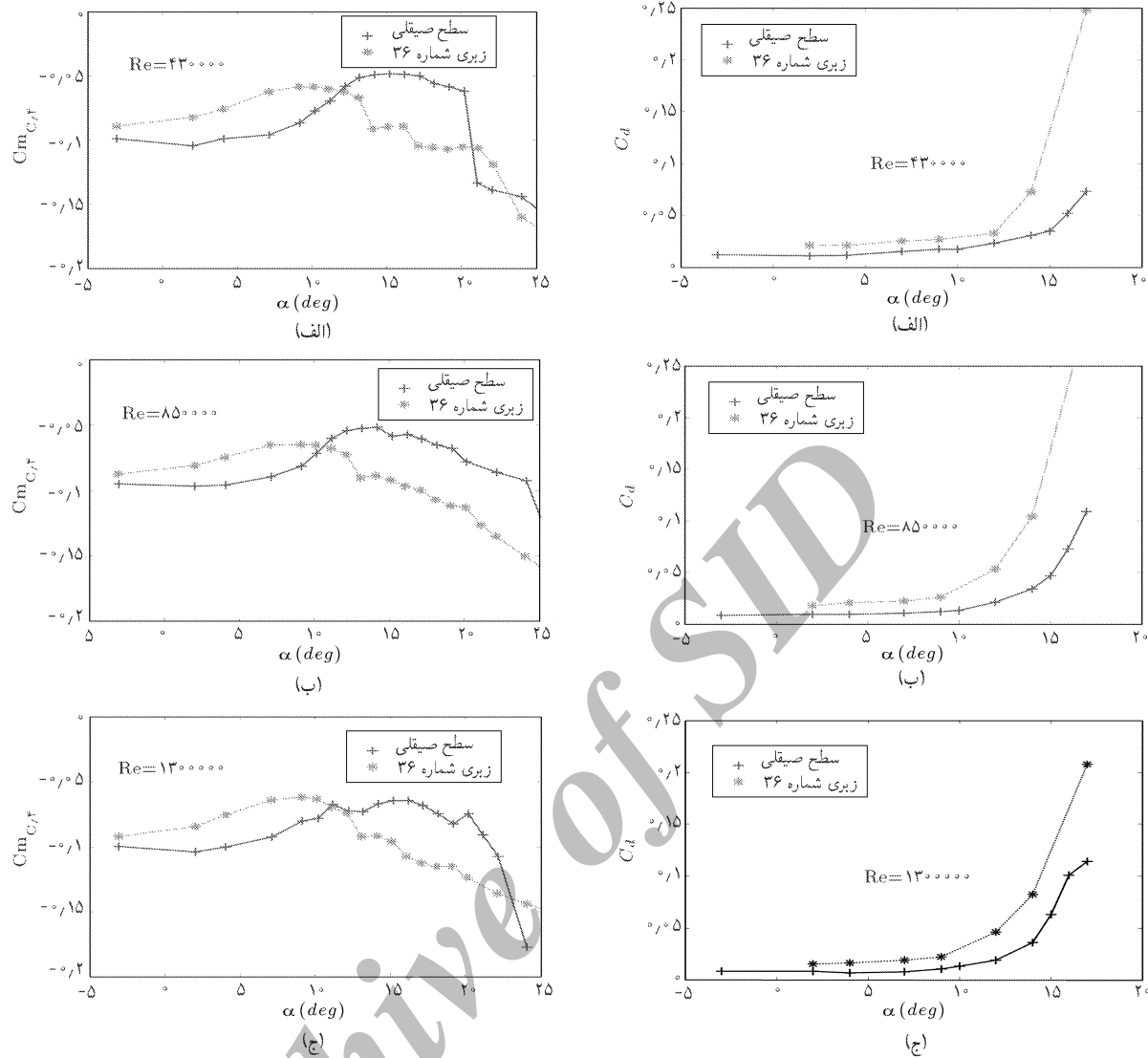


شکل ۹. تأثیر زبری شماره ۳۶ بر روی ضریب برآ در رینولدزهای مختلف.

ضریب برآ ممان پیچشی حول ۲۵٪ وتر در زوایای قبل از واماندگی به واسطهٔ زبری کاهش پیدا می‌کند اما بعد از واماندگی این اثر معکوس می‌شود. تغییرات بر حسب زویهٔ حمله تقريباً ناچیز است. شکل‌های ۱۴ تا ۱۶ اثر زبری بر توزیع فشار حول ایرفویل را در رینولدزهای $10^6 \times 10^6 / 43$, $10^6 \times 85 / 50$ و $10^6 \times 1 / 3$ هریک در چهار زویهٔ حمله‌ی ۱۲, ۱۷, ۲۲ و ۲۷ درجه نشان می‌دهند. زبری باعث افت شدید بیشینهٔ ضریب فشار روی سطح بالایی مدل و افزایش ناحیهٔ جریان جدا شده در زوایای حمله‌ی بالا شده است. افزایش ناحیهٔ جدا شده‌ی جریان جدا شده در زوایای حمله‌ی ۱۲ و ۱۷ درجه کاملاً مشخص است. در حالی که جریان در رینولدز $10^6 \times 10^6 / 43$ در زویهٔ حمله‌ی ۱۷ درجه از ۵۰٪ سطح بالایی جدا شده بر اثر زبری به ۷۵٪ افزایش یافته، سطح جدا شده جریان در

باعث افزایش دست کم ۴۰ درصدی پسا در زوایای حمله پایین شده است. بهمنظور درک بهتر اثرات زبری بر کارایی آئرودینامیکی مقطع، نسبت ضریب برآ به پسا مقیاس خوبی است. شکل ۱۲ اثر زبری بر این نسبت برآ به پسا را در رینولدزهای مختلف نشان می‌دهد. در حالی که این نسبت برآی حالت ایرفویل با سطح صاف و صیقلی در رینولدزهای مختلف از ۱۳° تا ۷۵° تغییر می‌کند، وجود زبری این نسبت را به در رینولدز $10^6 \times 10^6 / 43$ در حداقل ۴۰° تا حداقل $10^6 \times 1 / 3$ در رینولدز کاهش داده است. در واقع زبری اثر مطلوب افزایش عدد رینولدز در بهبود کارایی ایرفویل را از بین برده است.

شکل ۱۳ اثر زبری بر روی ضریب ممان پیچشی حول ۲۵٪ وتر را نشان می‌دهد. بهطور کلی زبری باعث حرکت مرکز فشار به سمت لبهٔ فوار مدل می‌شود، اما به سبب افت شدید در توزیع فشار و کاهش

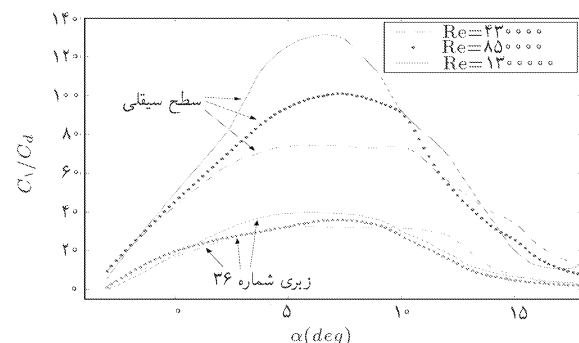


شکل ۱۱. تأثیر زیری شماره ۳۶ بر روی ضریب پسا در رینولدزهای مختلف.
 $1/3 \times 10^6$

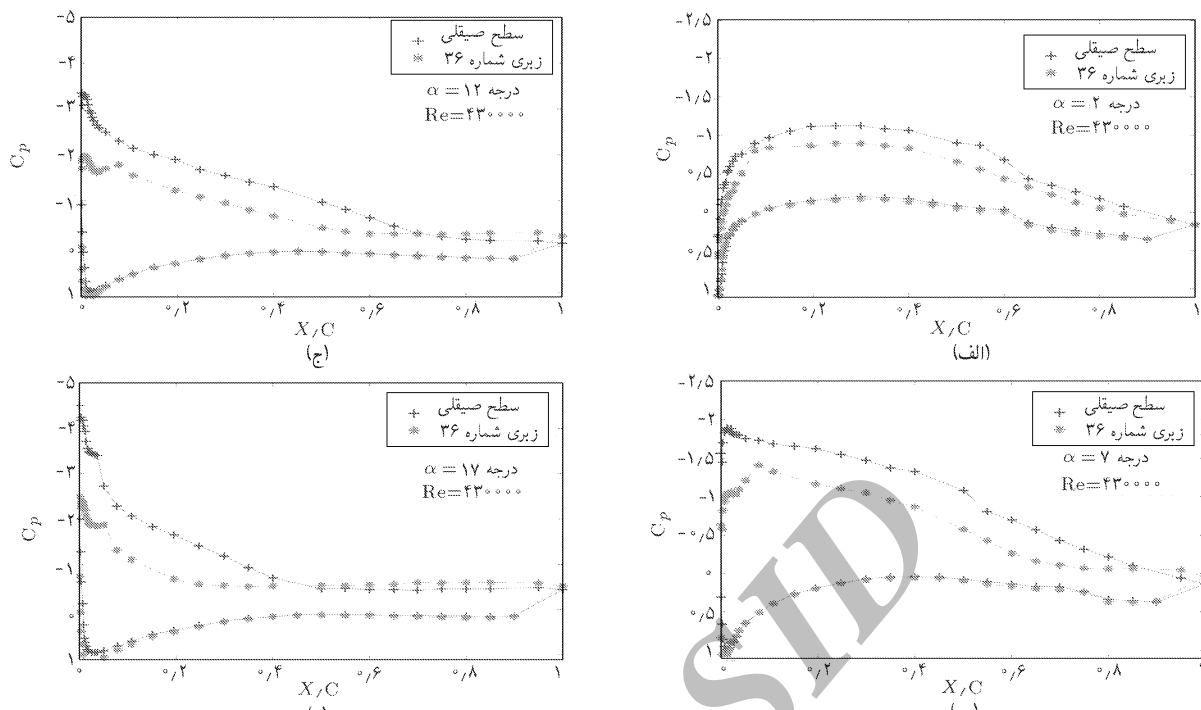
ضریب فشار حول ایرفویل با سطح صاف و صیقلی در زوایای حمله بالا به راحتی به -5° می‌رسد اما این مقدار برای زیری به -3° کاهش یافته است. در زوایای حمله 2° و 7° درجه می‌توان موقعیت نقطه‌ی گذار در سطح بالایی ایرفویل را از نمودارهای توزیع فشار تشخیص داد. زیری باعث از میان رفتن این نقطه شده است. در واقع می‌توان گفت زیری ناحیه‌ی جریان آرام روی مدل را از میان بوده و جریان در تمام سطح بالایی مشوش است. زیری بر توزیع فشار در سطح پایین تأثیری نداشته است.

همان‌طور که ذکر شد یکی از متداول‌ترین روش‌ها برای پیش‌بینی توان خروجی توربین‌های باد روش BEM است و لازمه‌ی استفاده از این روش دسترسی به جدولی از پارامترهای آئرودینامیکی مقاطع 80° به 85° در زوایه حمله 17° درجه افزایش پیدا کرده است.

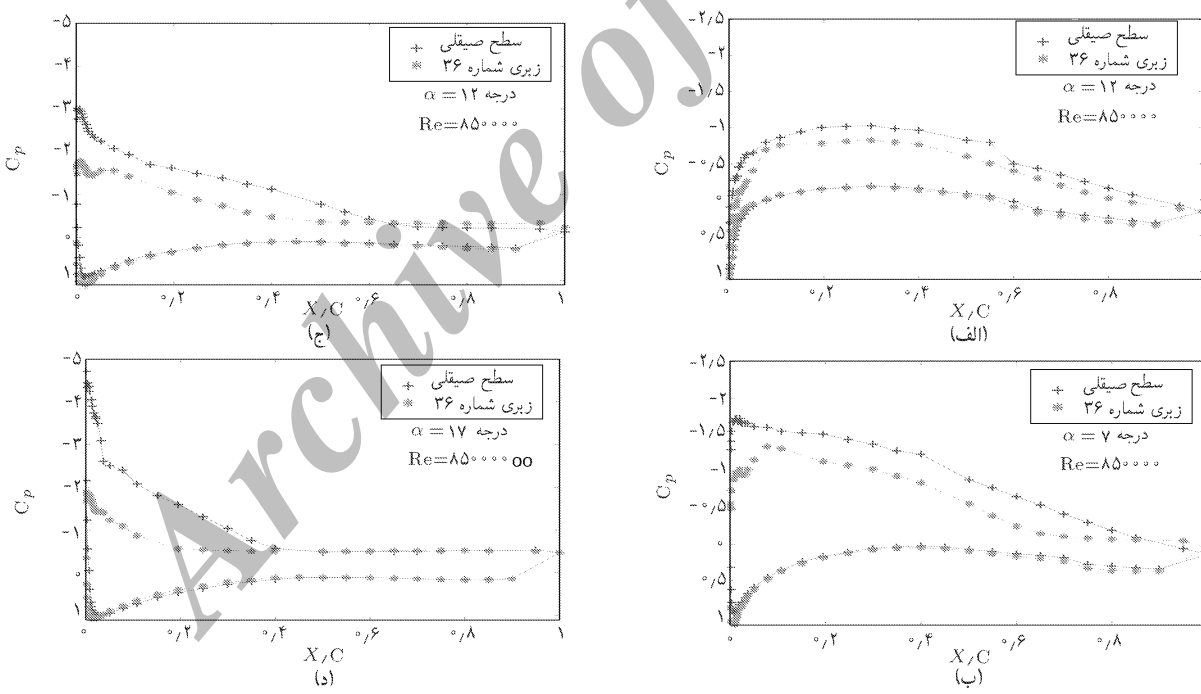
شکل ۱۱. تأثیر زیری شماره ۳۶ بر روی ضریب پسا در رینولدزهای مختلف.



شکل ۱۲. تأثیر زیری بر روی نسبت ضریب پسا در رینولدزهای مختلف.



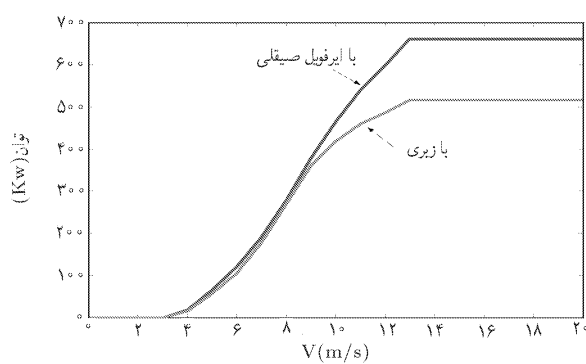
شکل ۱۴. اثر زبری بر توزیع فشار حول مدل در زوایای مختلف حمله و در رینولدز 23×10^6 .



شکل ۱۵. اثر زبری بر توزیع فشار حول مدل در زوایای مختلف حمله و در رینولدز 85×10^6 .

مشهور برای پیش‌بینی توان توربین‌ها است اما به دلیل محدودیت‌های زیاد و نبودن برنامه‌ی مرتع آن مجبور شدیم نرم‌افزاری را از ابتدا براساس روش BEM بنویسیم و به منظور صحت عملکرد آن با نتایج که Selig (مانند کد M. Selig) اعتبارسنجی شده است، این نرم‌افزار که در شبکه نیز به صورت فایل اجرایی موجود است، یکی از نرم‌افزارهای مقایسه‌کنیم. برای مشخص کردن اثر زبری بر کاهش توان، با استفاده

بکار رفته در طول پره است. به همین منظور کدی نوشته می‌شود که با استفاده از این روش کار می‌کند، و با مقایسه‌ی آن با سایر کدهای توربین باد (مانند کد M. Selig) اعتبارسنجی شده است. این نرم‌افزار که در شبکه نیز به صورت فایل اجرایی موجود است، یکی از نرم‌افزارهای

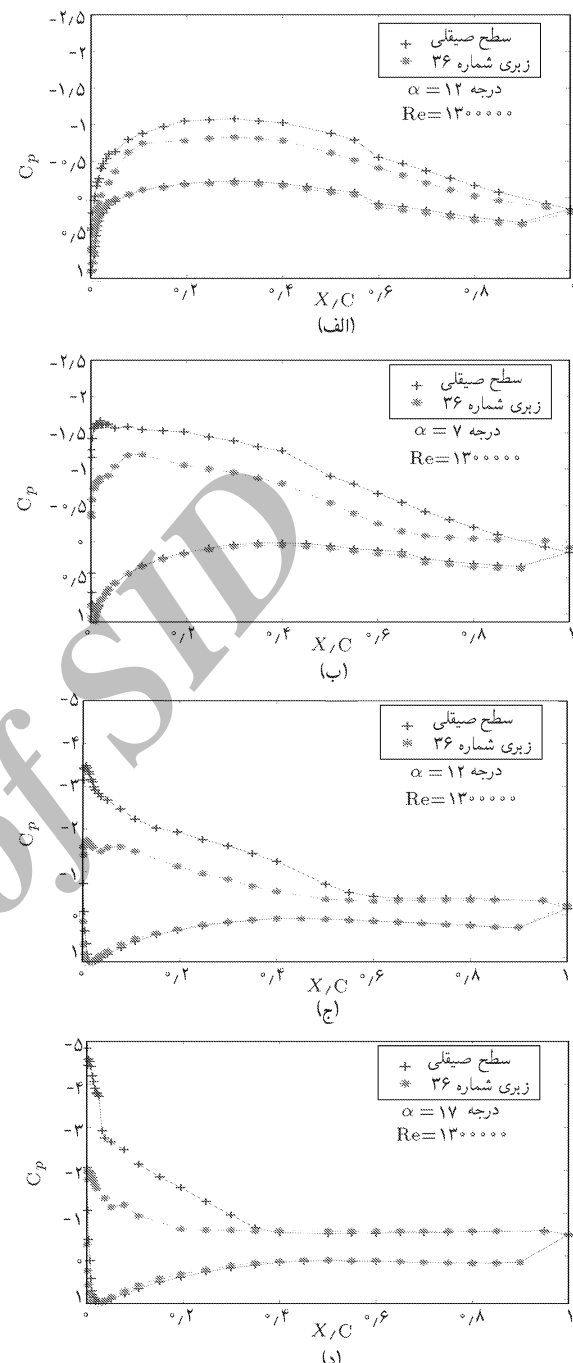


شکل ۱۷. اثر زبری بر توان توربین باد.

از کد نوشته شده‌ی توان توربین بر حسب سرعت باد، و با این فرض که پره در تمامی مقاطع آن از همین ایرفویل مورد آزمایش استفاده شده در شکل ۱۷ نشان داده شده است. همان‌طور که در این شکل نشان داده شده است، زبری باعث افت قابل ملاحظه‌ی بیشینه‌ی توان به مقدار حداقل ۲۰٪ شده است. با توجه به این اثر، ضرورت تمیز نگه داشتن پره توربین‌های باد که در شرایط کاری در معرض آلودگی قرار می‌گیرند بیش از پیش مشخص می‌شود.

نتیجه‌گیری

در این تحقیق آزمایشات مختلفی برای اندازه‌گیری توزیع فشار، پروفیل دنباله‌ی جریان، آشکارسازی جریان و بررسی اثرات زبری با توجه به عدد رینولدز و زویه‌ی حمله روی مقطع پره توربین برق بادی در تونل باد مرکز جهاد کشاورزی شیراز انجام شد. میدان جریان اطراف این مدل با اندازه‌گیری توزیع فشار کل در زوایای حمله‌ی مختلف بهوسیله ریک مورد بررسی قرار گرفت. نتایج با پیش‌بینی صورت گرفته توسط کدهای مهندسی مقایسه شده است. نتیجه‌ی تغییرات ضربیب با زویه‌ی حمله، مؤید تشکیل حباب روی سطح بالا در رینولذزهای پایین است. نتایج به دست آمده حاکی از اثرات نامطلوب زبری بر کارایی آزادینامیکی ایرفویل، کاهش ضربیب برا و افزایش پسا است. زبری باعث کاهش نقطه‌ی گذار و افزایش ناحیه‌ی جدا شده‌ی جریان در زوایای حمله بالا شده است.



شکل ۱۶. اثر زبری بر توزیع فشار حول مدل در زوایای مختلف حمله و در رینولذز $10^6 \times 1/3$.

پانوشت

1. leading edge roughness
2. wind blockage
3. traversing system
4. span
5. chord
6. rake

7. hot wire
8. bubble

منابع

1. Wallker, J, "Wind energy technology", John Wiley & Sons, Inc. (July 1997).
2. Dan M. Sommers, James L. Tangler, "Wind-

- Tunnel tests of two airfoils for wind turbines operating at high reynolds numbers”, Presented at the *ASME Wind Energy Symposium Reno, Nevada*, January 10.13, (2000).
- 3. J. M. Janiszewska, R. Reuss Ramsay, J. D. Lee, G. M. Gregorek, “Effects of grit roughness and pitch oscillations on the L303 airfoil”, *National Renewable Energy Laboratory* (February 1999).
 - 4. W.A. Timmer, A.P. Schaffarczyk, “The effect of roughness at high reynolds numbers on the performance of DU 97-W-300Mod”, *Delft University Wind Energy Institute* (2004).
 - 5. Christian Bak, Peter Fuglsang, Niels N. Sorensen, Helge, “Airfoil characteristics for wind turbines”, *Riso National Laboratory, Roskilde* (March 1999).
 - 6. J. M. Janiszewska, R. Reuss Ramsay, J. D. Lee, G. M. Gregorek, “Effects of grit roughness and pitch oscillations on the L303 airfoil”, *The Ohio State University* (1999).
 - 7. Warren F. Phillips, “Mechanics of flight”, John Wiley & Sons, Inc. (2004).
 - 8. William H.Rae, Jr. & Alan Pope, “Low-Speed wind tunnel testing”, John Wiley & Sons, Inc (1984).

Archive of SID